

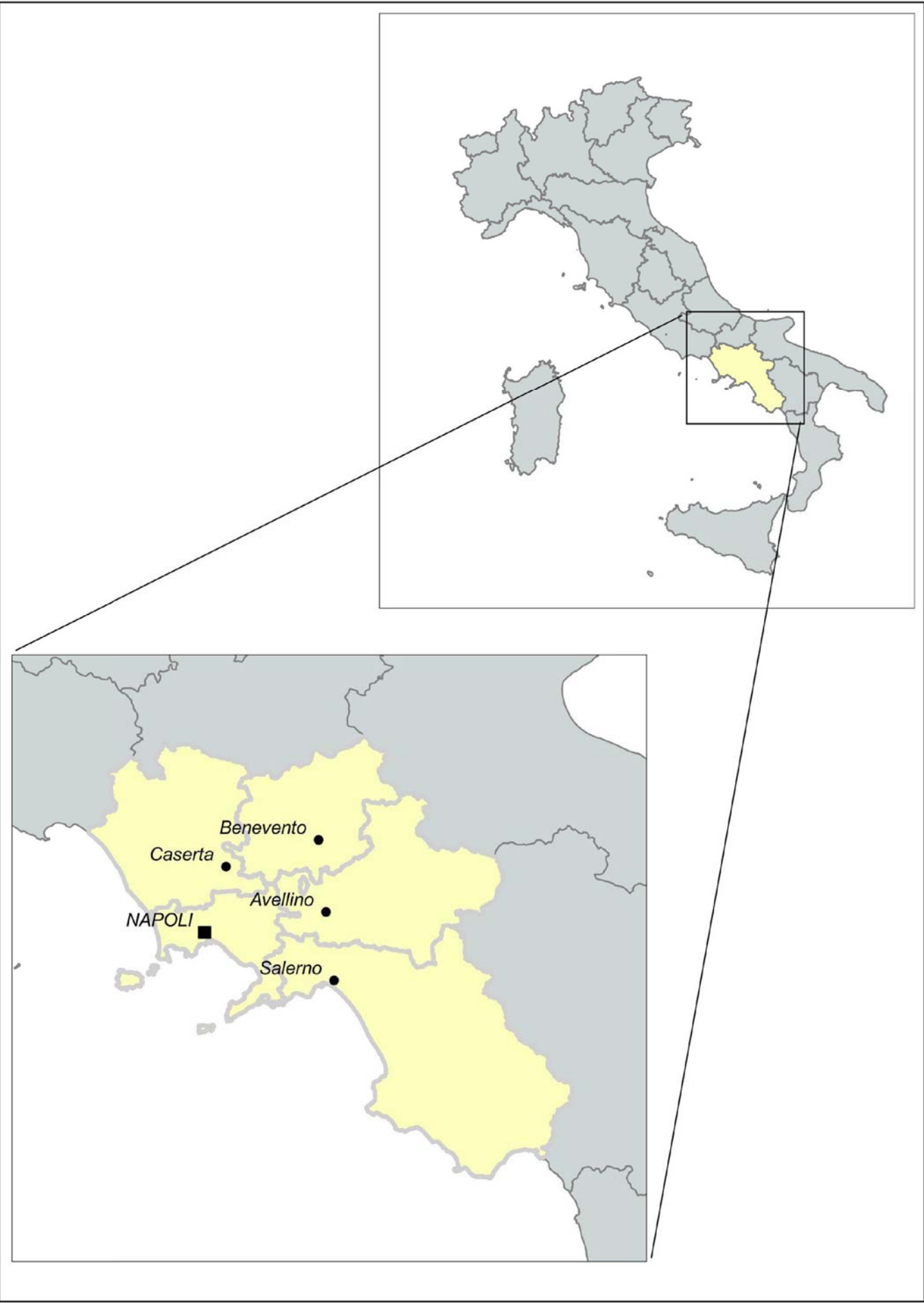
| CORPO IDRICO | COMPLESSO IDROGEOLOGICO | CORPO IDRICO | COMPLESSO IDROGEOLOGICO | CORPO IDRICO | COMPLESSO IDROGEOLOGICO |
|----------------------------------|-------------------------------|---------------------------------------|-------------------------------|--|-------------------------|
| Alta valle del Sabato | Complesso alluvionale | M. Accellice-M. Licini-M. Mai | Complesso carbonatico | Monti del Matese | Complesso carbonatico |
| Area di Apice-Grottaferrata | Complesso clastico pliocenico | Media valle del Mingardo | Complesso alluvionale | Monti della Maddalena | Complesso carbonatico |
| Area di Ariano Irpino | Complesso clastico pliocenico | Media Valle del Volturno | Complesso alluvionale | Monti di Avella - Partenò-Pizzo D'Alvano | Complesso carbonatico |
| Area di Casertano | Complesso misto | Monte Bulgheria | Complesso carbonatico | Monti di Durazzano | Complesso carbonatico |
| Area di Castelbagnano | Complesso misto | Monte Calvello | Complesso misto | Monti di Salerno | Complesso carbonatico |
| Area di Capaloni | Complesso clastico pliocenico | Monte Camposauro | Complesso carbonatico | Monti Lattari - Isola di Capri | Complesso carbonatico |
| Area di Colle Sanita | Complesso misto | Monte Centaurino | Complesso arenitico | Monti Mainarde-Venafro | Complesso carbonatico |
| Area di Fragneto Abbate | Complesso misto | Monte Cervialto-Monte Vesale | Complesso carbonatico | Piana ad oriente di Napoli | Complesso alluvionale |
| Area di Fragneto Montforte | Complesso misto | Monte Cervialto | Complesso carbonatico | Piana del Busento | Complesso alluvionale |
| Area di Gaiola degli Schiavoni | Complesso clastico pliocenico | Monte Difesa | Complesso misto | Piana del Garigliano | Complesso alluvionale |
| Area di Luggiano | Complesso clastico pliocenico | Monte Forcella-Salice - M. Coccovello | Complesso carbonatico | Piana del Sele | Complesso alluvionale |
| Area di Pesci Sanita | Complesso misto | Monte Maggiore | Complesso carbonatico | Piana del Volturno-Regi Lagni | Complesso alluvionale |
| Area di Pietrelcina | Complesso misto | Monte Masulo | Complesso carbonatico | Piana dell'Alerio | Complesso alluvionale |
| Area di S. Angelo a Cupolo | Complesso clastico pliocenico | Monte Marzano-Monte Ogna | Complesso carbonatico | Piana dell'Uffita | Complesso alluvionale |
| Area di S. Croce del Sannio | Complesso misto | Monte Massico | Complesso carbonatico | Piana di Benevento | Complesso alluvionale |
| Area di S. Giorgio la Molara | Complesso misto | Monte Moschiatturo | Complesso misto | Piana di Limatola-Volturno | Complesso alluvionale |
| Area di S. Leucio del Sannio | Complesso clastico pliocenico | Monte Molola | Complesso carbonatico | Piana di Montella | Complesso alluvionale |
| Area di S. Marco dei Cavoti | Complesso misto | Monte Polveraccio-Raione | Complesso carbonatico | Piana di Presenzano e Riardo | Complesso vulcanico |
| Area S. Arcangelo Trimonte | Complesso clastico pliocenico | Monte S. Stefano | Complesso clastico pliocenico | Piana di Sarno | Complesso alluvionale |
| Area S. Angelo dei Lombardi | Complesso clastico pliocenico | Monte Sacro-Gelbison | Complesso arenitico | Piana di Solofra | Complesso alluvionale |
| Bassa valle del Calore | Complesso alluvionale | Monte Stella | Complesso arenitico | Piana di Venafro | Complesso alluvionale |
| Basso corso del Lirio e Mingardo | Complesso alluvionale | Monti Taburno | Complesso carbonatico | Piana di Vercelli | Complesso alluvionale |
| Basso corso del Tanagro | Complesso alluvionale | Monte Terminio-Tuoro | Complesso carbonatico | Pisciotte-San Mauro la Bruca | Complesso arenitico |
| Campi Flegrei | Complesso vulcanico | Monte Tifata | Complesso carbonatico | Roccamorfinia | Complesso vulcanico |
| Complesso Tufoso Basso Volturno | Complesso vulcanico | Monte Toppo Povero | Complesso misto | Somma Vesuvio | Complesso vulcanico |
| Isola di Procida | Complesso vulcanico | Monti Albani | Complesso carbonatico | | |
| Isola d'Ischia | Complesso vulcanico | | | | |

LEGENDA

Complessi idrogeologici

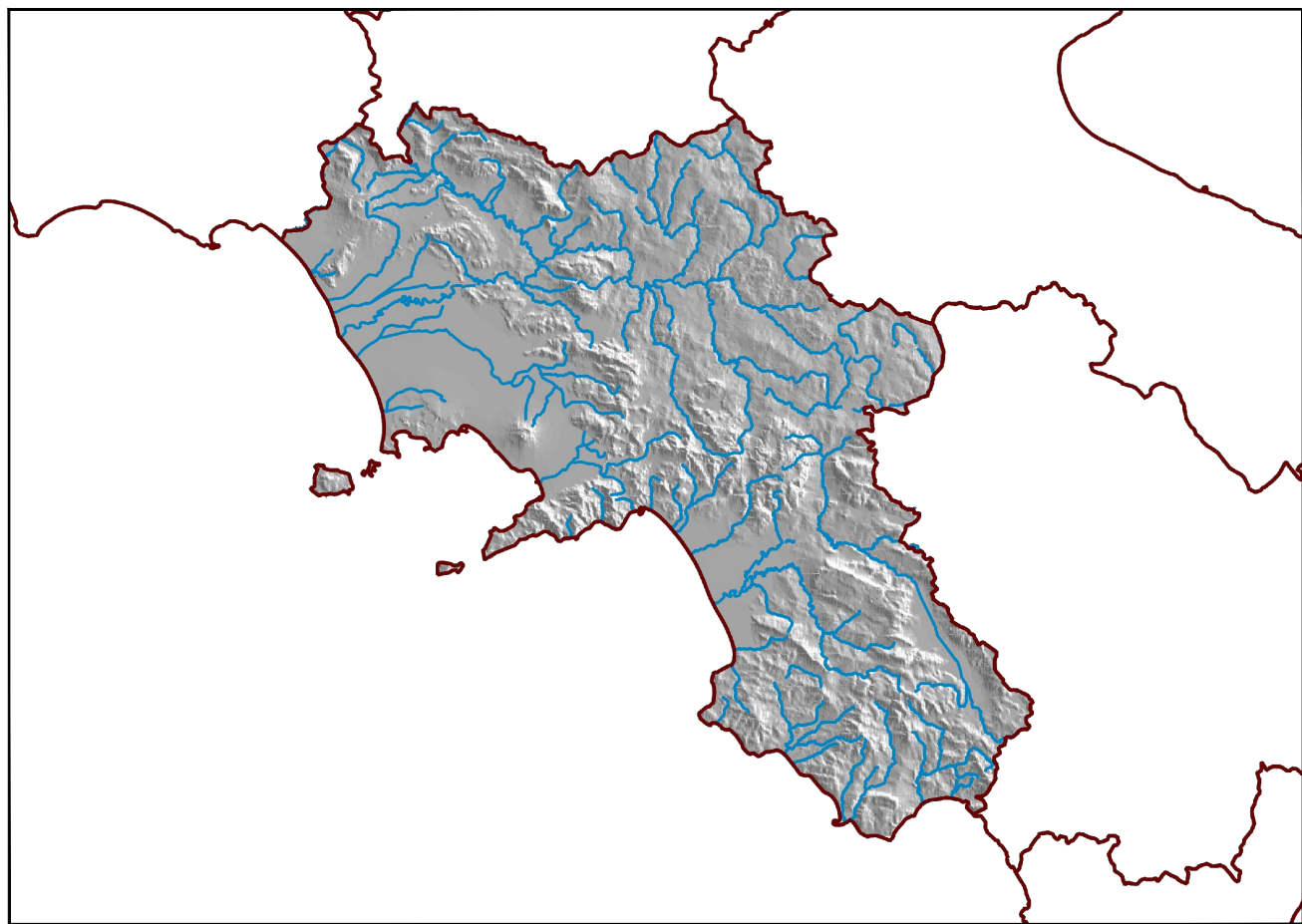
- DQ** - Complesso alluvionale
Costituito da sedimenti di facies fluviale, di transizione marino-fluviale e fluvio-lacustre, a granulometria e stato di addensamento variabile.
Nell'area vesuviana presenza di depositi piroclastici rimaneggiati e/o in giacitura primaria.
Permeabilità prevalente per porosità
Grado di permeabilità da medio-basso a medio-alto in relazione alla granulometria e allo stato di addensamento e/o cementazione
- VU** - Complesso vulcanico
Costituito da lave, tufi e piroclastici
Permeabilità prevalente per porosità nei termini piroclastici da caduta e da flusso e per fessurazione nei termini lavici
Grado di permeabilità da scarso a medio nei termini piroclastici e elevato nei termini lavici
- DET** - Complesso clastico pliocenico
Costituito prevalentemente da intervalli conglomeratici e sabbiosi, da molto addensati a cementati
Permeabilità prevalente per porosità e, nei termini cementati, per fessurazione
Grado di permeabilità da medio a basso in relazione alla granulometria e allo stato di addensamento e/o cementazione
- LOC** - Complesso misto
Costituito da alternanze, in facies di flysch, di calcari clastici, calcareniti, calcilutiti, marne e argilliti
Permeabilità prevalente per fessurazione
Grado di permeabilità medio nei termini a prevalente componente calcarea e medio basso nei termini con maggiore presenza di peliti e marne
- LOC-AR** - Complesso arenitico
Costituito da calcari, dolomie e depositi clastici di versante spesso cementati
Permeabilità prevalente per fessurazione e carsismo nei termini carbonatici e per fessurazione e porosità nei termini dolomitici e nei depositi clastici di versante
Grado di permeabilità prevalente da medio a scarso, impermeabile nei termini marnoso-siltosi dei megastri presenti nella successione
- CA** - Complesso carbonatico
Costituito da calcari, dolomie e depositi clastici di versante spesso cementati
Permeabilità prevalente per fessurazione e carsismo nei termini carbonatici e per fessurazione e porosità nei termini dolomitici e nei depositi clastici di versante
Grado di permeabilità elevato nei termini calcarei e medio nei termini dolomitici e dei depositi clastici di versante
- STE-MIN** - Formazioni sterili e/o complessi eterogenei minori - Corpi idrici minori di cui all'Art. 9 NTA
Costituiti da litologie variabili, rappresentate sia da quelle ricadenti nelle altre tipologie di complessi sia da terreni prevalentemente argillitici impermeabili
Permeabilità per porosità, fessurazione e carsismo in relazione alle formazioni geologiche presenti
Grado di permeabilità da impermeabile ad elevato in relazione alle caratteristiche litotecniche delle formazioni geologiche presenti

* - D.LGS. 30/09



Direzione Generale per la Difesa del Suolo e l'Ecosistema
DG 50 06 00

UOD 50 06 08 Tutela delle acque - Contratti di fiume



PIANO DI TUTELA DELLE ACQUE
art. 121 del D.Lgs 152/2006
(Aggiornamento 2019)

Convenzione Regione Campania - Sogesid S.p.A. (Rep. n. 13360 del 26/03/2009) / P.O. del 27/05/2017

SOGESID SPA
INGEGNERIA TERRITORIO AMBIENTE

Direttore Tecnico
Ing. Carlo Messina

Gruppo di lavoro
Dott. Ferdinando D'Argenio
Ing. Giovanni D'Erico
Geol. Antonio Gallo
Arch. Giovanni Palmiero
Arch. Vincenzo Pucca
Ing. Clementina Vellicco

Direttore
Geol. Michele Palmieri

Gruppo di lavoro
Geol. Gerardo Lombardi
(foto prot. n. 046655 del 3 luglio 2017)
Geol. Federico Balistracci

Project Manager
Dott.ssa Daniela Rizzo

Titolo Elaborato

Carta dei complessi idrogeologici

Codice Elaborato

Rev. Data: Agosto 2020

PTA_TAV_3/D 2 Scala 1: 250.000

Tipo elaborato: Tavola